

### 3

## Influência da tensão nominal no tamanho e na forma da zona plástica

### 3.1. Estimativas tradicionais da zona plástica

A descrição tradicional do campo linear elástico em volta da ponta de uma trinca em qualquer peça linear elástica isotrópica e homogênea pode ser obtida através da solução de Williams (ver Equação 2.21) ou da solução de Westergaard (como será visto adiante). A zona plástica de Williams pode ser mapeada utilizando a Equação (2.67) para tensão plana e (2.68) para deformação plana. A seguir são apresentadas as zonas plásticas de Williams para tensão plana e para deformação plana, adimensionalizadas dividindo o tamanho da zona plástica ( $Zp_{Williams}$ ) pelo tamanho da zona plástica em tensão plana quando  $\theta = 0$  ( $Zp_0$ ). Dividindo a Equação (2.67) pela (2.69) temos, para tensão plana:

$$\frac{Zp_{Mises}^{Williams}}{Zp_0} = \cos^2 \frac{\theta}{2} \left( 1 + 3 \sin^2 \frac{\theta}{2} \right), \quad (3.1)$$

e para deformação plana:

$$\frac{Zp_{Mises}^{Williams}}{Zp_0} = \cos^2 \frac{\theta}{2} \left[ 1 + 3 \sin^2 \frac{\theta}{2} - 4\nu(1-\nu) \right]. \quad (3.2)$$

Apesar de estas serem as zonas plásticas apresentadas em praticamente todos os livros-texto de Mecânica da Fratura, elas têm um problema sério que torna o seu uso no mínimo questionável: a tensão  $\sigma_y$  quando  $x \rightarrow \infty$  tende a zero e não para  $\sigma_n$  como é na realidade. Por exemplo, uma placa de largura  $2w$  com uma pequena trinca central  $2a$  sujeita à tensão  $\sigma_n$  perpendicular à trinca (ver Figura 3.2) trabalha sob uma força aplicada dada por:

$$F = 2 \cdot w \cdot t \cdot \sigma_n, \quad (3.3)$$

como:

$$w = Lr + a; \quad (3.4) \text{ substituindo}$$

(3.4) em (3.3) temos:

$$F = 2 \cdot (a + Lr) \cdot t \cdot \sigma_n. \quad (3.5)$$

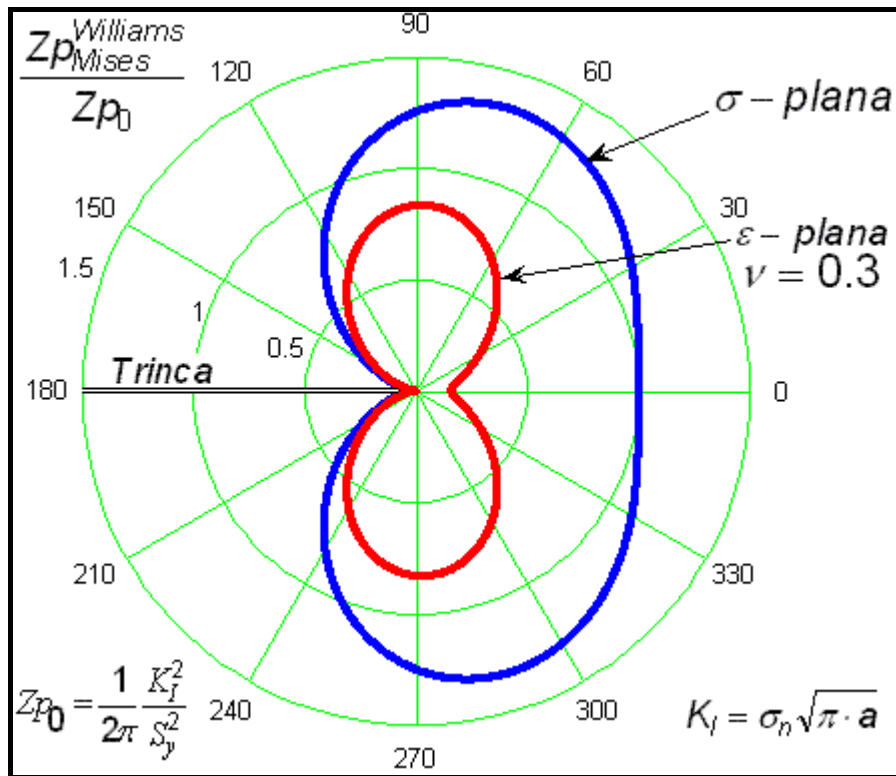


Figura 3.1 - Fronteiras elastoplástica por Mises em modo I previstas usando Williams.

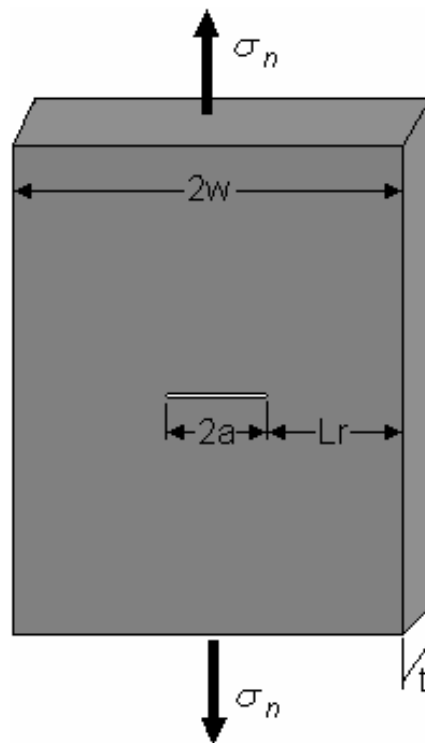


Figura 3.2 - Placa com trinca central e carregamento perpendicular à trinca.

Por outro lado, a força gerada pela componente de tensão  $F'$ , da solução de Williams, na direção da carga aplicada, pode ser obtida integrando as tensões  $\sigma_y$  que solicitam o ligamento residual da placa, onde em cada ponto atua uma componente:

$$dF' = \frac{K_I}{\sqrt{2 \cdot \pi \cdot x}} t dx, \quad (3.6)$$

como:

$$K_I = \sigma_n \cdot \sqrt{\pi \cdot a}; \quad (3.7)$$

Substituindo (3.7) em (3.6) e integrando a través dos dois ligamentos residuais temos:

$$F' = 2 \cdot \int_0^{Lr} \frac{\sigma_n \cdot \sqrt{\pi \cdot a}}{\sqrt{2 \cdot \pi \cdot x}} t dx, \quad (3.8)$$

finalmente a força  $F'$  é igual a:

$$F' = 2 \cdot \sigma_n \cdot t \cdot \sqrt{2 \cdot a \cdot Lr}. \quad (3.9)$$

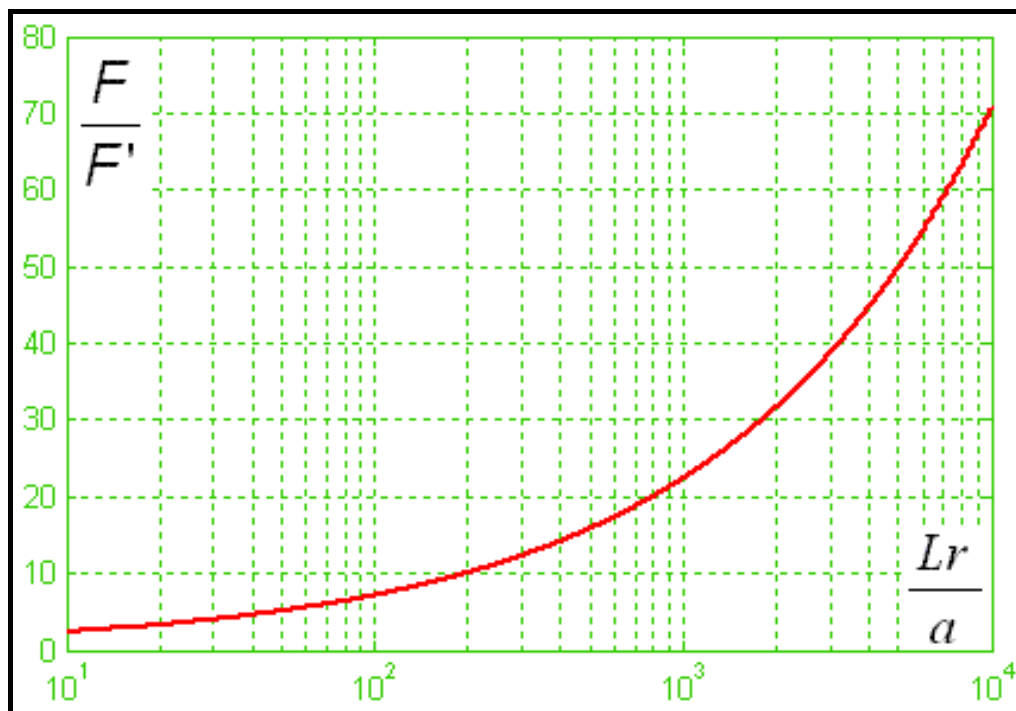


Figura 3.3 - Razão  $\frac{F}{F'}$  onde  $F$  é a força produzida pela tensão  $\sigma_n$  e  $F'$  é a força produzida pela tensão  $\sigma_y$  gerada pelo  $K_I$  atuante na peça.

Apesar de ser a Figura 3.3 um gráfico apenas didático, há que a solução para o campo de tensões a partir do  $K_I$  é válido somente muito perto da ponta da

trinca, pode-se ver em ela, que a força  $F'$  produzida pela tensão  $\sigma_y$  gerada pelo  $K_I$  não pode estimar a força  $F$  produzida pela tensão aplicada na peça ( $\sigma_n$ ). O erro aumenta significativamente conforme vai aumentando a razão  $\frac{Lr}{a}$ , ou seja, ao contrário do esperado, à medida que a expressão  $K_I$  é mais aplicável (para  $a \ll w$ ), ou seja, o erro na estimativa de  $F'$  aumenta. Isto demonstra que nem sempre é bom confiar na intuição.

Irwin tentou solucionar o problema do equilíbrio trasladando a tensão  $\sigma_y$  (gerada por  $K_I$ ), tratando de equilibrar as forças que atuam na peça, compensando a perda de força que é provocada pelo escoamento na zona plástica (para mais detalhes, vide seção 2.2.7). Entretanto, esta correção introduzida por Irwin não é suficiente para equilibrar a força aplicada na peça, já que ela também não obedece à condição de contorno  $\sigma_y(x \rightarrow \infty, 0) = \sigma_n$ . Uma forma de obter uma solução aproximada que satisfaça esta condição de contorno é superpor a tensão nominal à tensão  $\sigma_y$  induzida por  $K_I$ , forçando  $\sigma_y \rightarrow \sigma_n$  quando  $x \rightarrow \infty$ . Com isto obtemos:

$$\sigma_y = \frac{K_I}{\sqrt{2\pi \cdot r}} \cos \frac{\theta}{2} \left[ 1 + \operatorname{sen} \frac{\theta}{2} \operatorname{sen} \frac{3\theta}{2} \right] + \sigma_n. \quad (3.10)$$

Apesar de simplista, esta correção pode gerar resultados que mostram o efeito não desprezível da tensão nominal no tamanho e na forma da zona plástica. A força  $F'$  que é gerada por esta última expressão na peça pode ser calculada da seguinte maneira:

$$dF' = \left( \frac{K_I}{\sqrt{2 \cdot \pi \cdot x}} + \sigma_n \right) t dx. \quad (3.11)$$

Substituindo (3.7) em (3.11) e integrando através dos dois ligamentos residuais temos:

$$F' = 2 \cdot \int_0^{Lr} \frac{\sigma_n \sqrt{\pi \cdot a}}{\sqrt{2 \cdot \pi \cdot x}} t dx + 2 \cdot \int_0^{Lr} \sigma_n t dx, \quad (3.12)$$

desenvolvendo estas integrais, obtemos:

$$F' = 2\sigma_n t \cdot \sqrt{2 \cdot a \cdot Lr} + 2 \cdot \sigma_n t \cdot Lr \quad (3.13)$$

e usando um pouco de álgebra, finalmente chegamos a:

$$F' = 2\sigma_n t (\sqrt{2a \cdot Lr} + Lr). \quad (3.14)$$

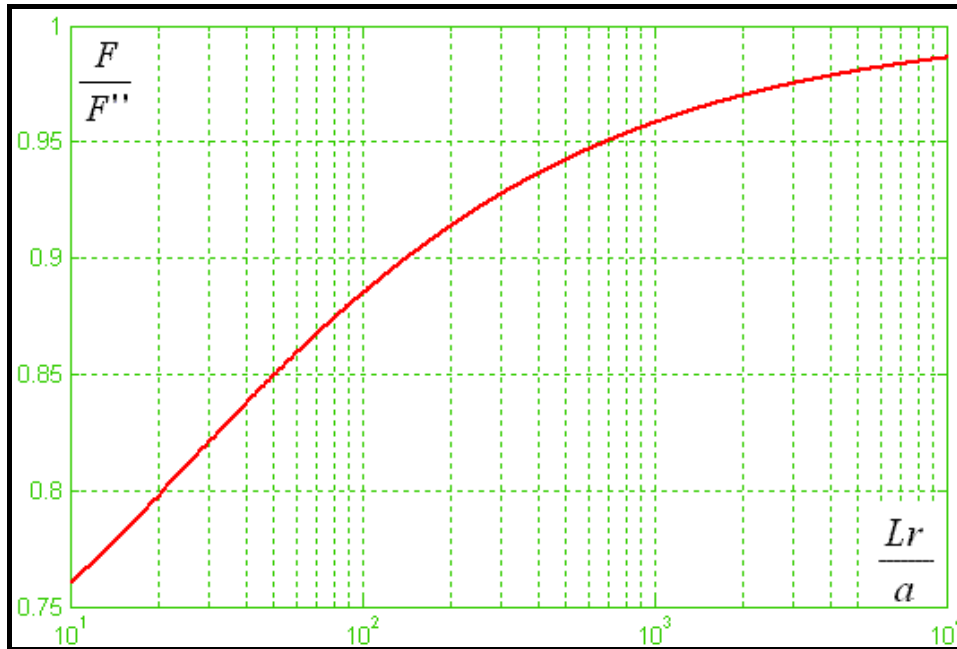


Figura 3.4 - Razão  $\frac{F}{F''}$ , onde  $F$  é a força produzida pela tensão  $\sigma_n$  e  $F''$  é a força calculada somando na tensão  $\sigma_y$  gerada por  $K_I$  a tensão nominal  $\sigma_n$  que atua na placa trincada.

Outra forma de obter uma solução, mas experta, que satisfaça a condição de contorno  $\sigma_y(x \rightarrow \infty, 0) = \sigma_n$  é usar a solução completa de Westergaard sem usar a simplificação de Irwin que gera  $K_I = \sigma_n \cdot \sqrt{\pi \cdot a}$ . Da Equação (2.64) temos que a componente  $\sigma_y$  do campo de tensões da solução de Westergaard é dada por  $\sigma_y = \text{Re } Z + \text{Im } Z'$ , derivando  $Z(z)$  na Equação (2.50) obtém-se:

$$Z'(z) = \frac{-a^2 \sigma_n}{(z^2 - a^2)^{\frac{3}{2}}}, \quad (3.15)$$

fazendo  $z = x + iy$ , escrevendo as equações (2.50) e (3.15) em coordenadas polares centradas na ponta da trinca e substituindo estas na equação (2.64) temos:

$$\sigma_y = \text{Re} \left( \frac{[a + (r \cdot \cos \theta) + i(r \cdot \sin \theta)] \cdot \sigma_n}{\sqrt{[a + (r \cdot \cos \theta) + i(r \cdot \sin \theta)]^2 - a^2}} \right) + \text{Im} \left( \frac{-a^2 \cdot \sigma_n}{\{[a + (r \cdot \cos \theta) + i(r \cdot \sin \theta)]^2 - a^2\}^{\frac{3}{2}}} \right). \quad (3.16)$$

A força diferencial  $dF_{\text{Westergaard}}$  gerada na direção  $\theta = 0$  é:

$$dF_{\text{Westergaard}} = \left\{ \text{Re} \left( \frac{(a+r) \cdot \sigma_n}{\sqrt{(a+r)^2 - a^2}} \right) + \text{Im} \left( \frac{-a^2 \cdot \sigma_n}{\{(a+r)^2 - a^2\}^{\frac{3}{2}}} \right) \right\} t dr, \quad (3.17)$$

então integrando a Equação (3.17) através dos dois ligamentos residuais temos:

$$F_{Westergaard} = 2 \cdot \int_0^{Lr} \left\{ \operatorname{Re} \left( \frac{(a+r) \cdot \sigma_n}{\sqrt{(a+r)^2 - a^2}} \right) + \operatorname{Im} \left( \frac{-a^2 \cdot \sigma_n}{\{(a+r)^2 - a^2\}^{\frac{3}{2}}} \right) \right\} t dr \cdot \quad (3.18)$$

Resolvendo numericamente esta integral pode-se obter a força atuante nos dois ligamentos residuais.

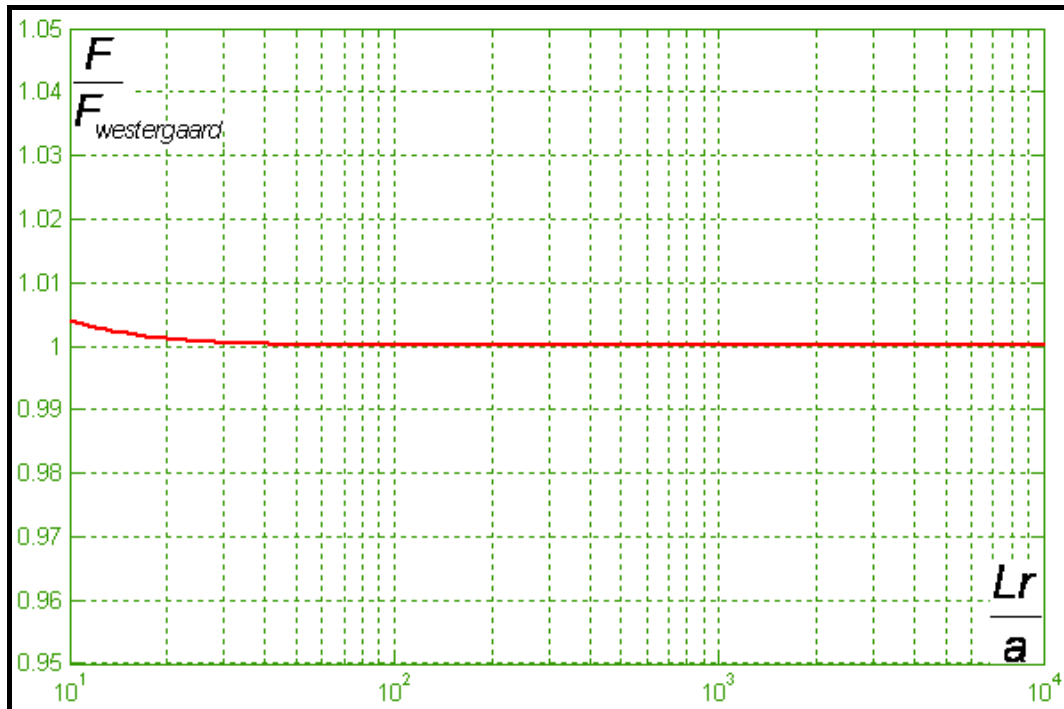


Figura 3.5 - Razão  $\frac{F}{F_{Westergaard}}$ , onde  $F$  é a força produzida pela tensão  $\sigma_n$  e  $F_{Westergaard}$  é a força calculada a partir da componente  $\sigma_y$  da solução completa de Westergaard.

Pode-se observar na Figura 3.5, a condição de contorno  $\sigma_y(x \rightarrow \infty, 0) = \sigma_n$  é satisfeita em todo o ligamento residual e a força  $F_{Westergaard}$  gerada pela componente  $\sigma_y$  da solução completa de Westergaard consegue estimar a força  $F$  produzida pela tensão aplicada na peça ( $\sigma_n$ ) com um erro totalmente desprezível de aproximadamente 0.5%.

### 3.2. Influência da tensão nominal no tamanho e forma da zona plástica

Para estimar o efeito da tensão nominal  $\sigma_n$  no tamanho e forma da zona plástica, adicionamos o termo  $\sigma_n$  à componente  $\sigma_y$  da Equação (2.21):

$$\begin{aligned}\sigma_x &= \frac{K_I}{\sqrt{2\pi \cdot r}} \cos \frac{\theta}{2} \left[ 1 - \operatorname{sen} \frac{\theta}{2} \operatorname{sen} \frac{3\theta}{2} \right] = \frac{K_I}{\sqrt{2\pi \cdot r}} f_x(\theta) \\ \sigma_y &= \frac{K_I}{\sqrt{2\pi \cdot r}} \cos \frac{\theta}{2} \left[ 1 + \operatorname{sen} \frac{\theta}{2} \operatorname{sen} \frac{3\theta}{2} \right] + \sigma_n \equiv \frac{K_I}{\sqrt{2\pi \cdot r}} f_y(\theta) + \sigma_n \\ \tau_{xy} &= \frac{K_I}{\sqrt{2\pi \cdot r}} \cos \frac{\theta}{2} \operatorname{sen} \frac{\theta}{2} \cos \frac{3\theta}{2} \equiv \frac{K_I}{\sqrt{2\pi \cdot r}} f_{xy}(\theta)\end{aligned}\quad (3.19)$$

$\tau_{xz} = \tau_{yz} = 0$ , para tensão plana.

Fazendo  $\alpha = \frac{K_I}{\sqrt{2\pi \cdot r}}$  e calculando a tensão de Mises para tensão plana:

$$\sigma_{mises} = \sqrt{\sigma_x^2 + \sigma_y^2 - \sigma_x \sigma_y + 3\tau_{xy}^2},$$

(3.20) quando a condição de contorno  $\sigma_y(x \rightarrow \infty, 0) = \sigma_n$  é satisfeita, obtemos:

$$\sigma_{mises} = \sqrt{(\alpha \cdot f_x)^2 + (\alpha \cdot f_y + \sigma_n)^2 - [(\alpha \cdot f_x) \cdot (\alpha \cdot f_y + \sigma_n)] + 3\alpha^2 \cdot f_{xy}^2}. \quad (3.21)$$

Substituindo:

$$\sigma_{mises} = S_E, \quad \alpha = \frac{K_I}{\sqrt{2\pi \cdot r}} \quad \text{e} \quad r = Zp \quad (\text{quando } \sigma_{mises} = S_E), \quad (3.22)$$

na Equação (3.21) e fazendo um pouco de álgebra, obtemos:

$$\frac{S_E^2}{\sigma_n^2} = \frac{a}{2 \cdot Zp} (f_x^2 + f_y^2 - f_x \cdot f_y + 3 \cdot f_{xy}^2) + \frac{\sqrt{a}}{\sqrt{2 \cdot Zp}} (2 \cdot f_y - f_x) + 1; \quad (3.23)$$

igualando (3.23) a zero e fazendo  $\frac{\sigma_n}{S_E} = d$ , pode-se escrever que:

$$0 = \frac{a}{2 \cdot Zp} (f_x^2 + f_y^2 - f_x \cdot f_y + 3 \cdot f_{xy}^2) + \frac{\sqrt{a}}{\sqrt{2 \cdot Zp}} (2 \cdot f_y - f_x) + \left(1 - \frac{1}{d^2}\right), \quad (3.24)$$

fazendo:

$$X = \frac{\sqrt{a}}{\sqrt{2 \cdot Zp}} \quad (3.25)$$

e substituindo (3.25) em (3.24):

$$0 = (f_x^2 + f_y^2 - f_x \cdot f_y + 3 \cdot f_{xy}^2) \cdot X^2 + (2 \cdot f_y - f_x) \cdot X + \left(1 - \frac{1}{d^2}\right). \quad (3.26)$$

Por fim, fazendo:

$$A = [f_x^2 + f_y^2 - f_x f_y + 3f_{xy}^2], \quad B = (2f_y - f_x) \quad \text{e} \quad C = 1 - \frac{1}{d^2}; \quad (3.27)$$

obtemos a equação quadrática:

$$AX^2 + BX + C = 0; \quad (3.28)$$

elevando a equação (3.25) ao quadrado temos:

$$Zp = \frac{a}{2 \cdot X^2}. \quad (3.29)$$

De (2.69) sabemos que  $Zp_0 = \frac{1}{2\pi} \left( \frac{K_I}{S_E} \right)^2$  e de (3.7) temos que  $K_I = \sigma_n \cdot \sqrt{\pi \cdot a}$ ,

assim dividindo a zona plástica pela  $Zp_0$  obtemos:

$$\frac{Zp}{Zp_0} = \frac{1}{X^2 \cdot d^2}. \quad (3.30)$$

Resolvendo a Equação quadrática (3.28) para  $X$  e substituindo este valor na Equação (3.30) obtemos a fronteira elastoplástica para quando  $\sigma_y$  é forçada a cumprir com a condição de contorno  $\sigma_y(x \rightarrow \infty, 0) = \sigma_n$ .

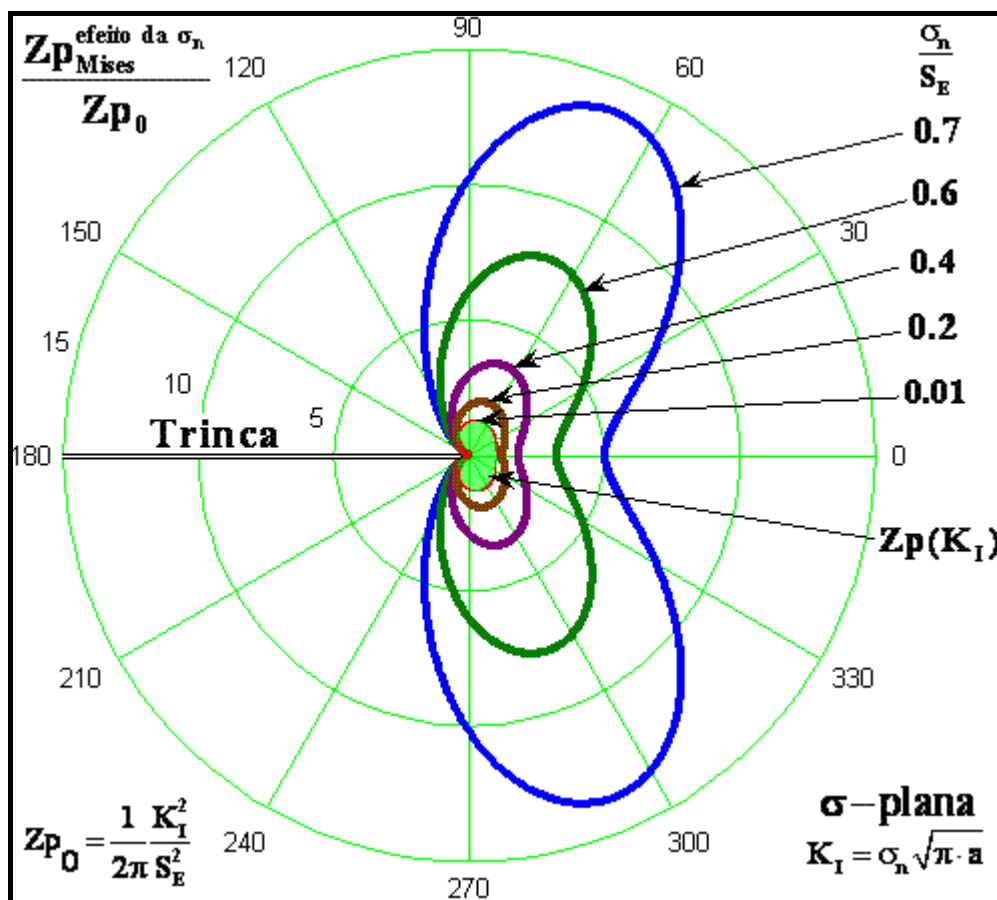


Figura 3.6 - Fronteira elastoplástica estimada adicionando  $\sigma_n$  à componente  $\sigma_y$  da solução de Williams para o campo de tensões na ponta da trinca, em  $\sigma$ -plana.

Para deformação plana só trocamos os parâmetros A, B e C da Equação (3.28) por:

$$\begin{aligned} A &= \left( (\nu^2 - \nu + 1) \cdot f_x^2 + (2 \cdot \nu^2 - 2 \cdot \nu - 1) \cdot f_x \cdot f_y + (\nu^2 - \nu + 1) \cdot f_y^2 + 3 \cdot f_{xy}^2 \right) \\ B &= \left( 2 \cdot (\nu^2 - \nu + 1) \cdot f_y + (2 \cdot \nu^2 - 2 \cdot \nu - 1) \cdot f_x \right) \\ C &= \left( (\nu^2 - \nu + 1) - \frac{1}{d^2} \right). \end{aligned} \quad (3.31)$$

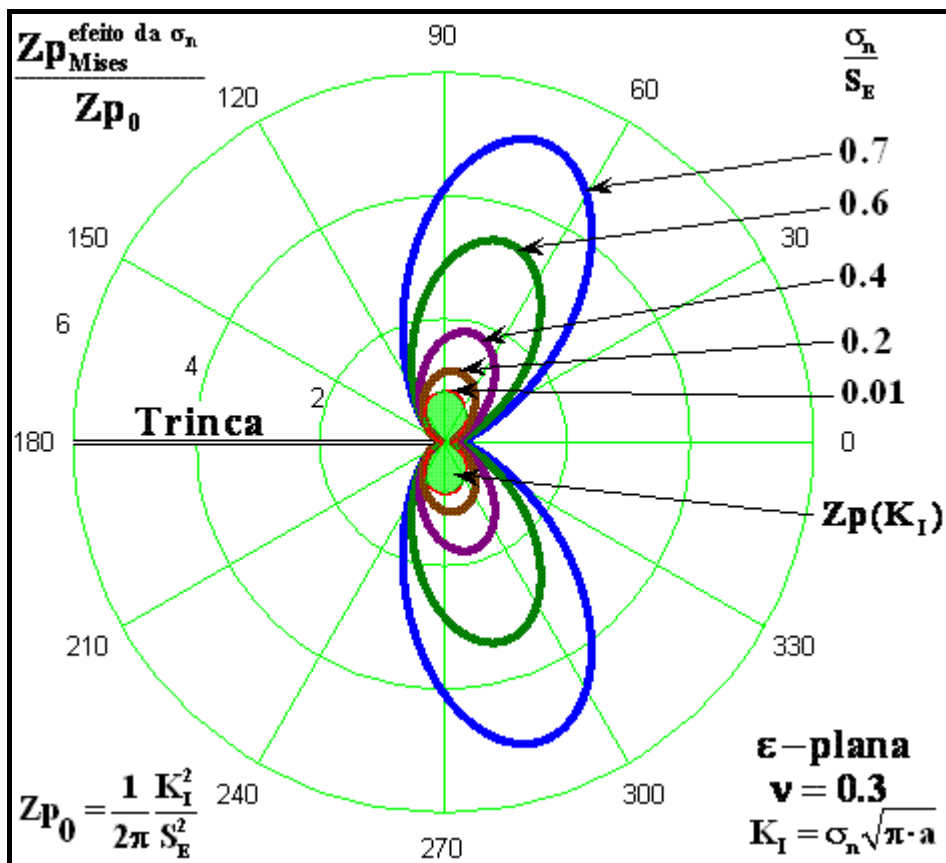


Figura 3.7 - Fronteira elastoplástica adicionando  $\sigma_n$  à componente  $\sigma_y$  da solução de Williams para o campo de tensões na ponta da trinca, em  $\epsilon$ -plana.

### 3.3. Estimativa da fronteira elastoplástica a partir da solução de Inglis para o campo de tensões em uma placa com um furo elíptico

A fronteira elastoplástica numa placa infinita tracionada uniformemente por  $\sigma_y$ , e que contenha uma trinca central  $2a$  perpendicular a  $\sigma_y$ , pode ser estimada de uma forma mais precisa usando a solução de Inglis (ver seção 2.1.4) ou de Westergaard completa (ver seção 2.2.6), pois ambas consideram todas as condições de contorno do problema.

A solução de Inglis já foi discutida na seção 2.1.4 com suficiente profundidade. Para adaptar esta solução a uma placa com uma trinca central  $2a$ , as faces da trinca devem coincidir com o eixo maior do furo elíptico, cujo raio da ponta deve ser a metade do CTOD, isto é:

$$\rho = \frac{CTOD}{2}. \quad (3.32)$$

Da Equação (2.85) e da Equação (2.86) obtemos os valores da  $CTOD$  para tensão e deformação plana. Substituindo (2.85), (2.86) e (3.7) em (3.32) temos:

$$\rho = \frac{2 \cdot \sigma_n^2 \cdot a}{E' \cdot S_E}, \quad (3.33)$$

onde  $E' = E$  em tensão plana e  $E' = E/(1-\nu^2)$  em deformação plana. Substituindo (3.33) na Equação (2.4):

$$1 + \frac{2a}{b} = 1 + 2 \cdot \sqrt{\frac{E' \cdot S_E}{2 \cdot \sigma_n^2}}, \quad (3.34)$$

deixando em evidência  $\frac{a}{b}$  se obtém:

$$\frac{a}{b} = \sqrt{\frac{E' \cdot S_E \cdot S_E}{2 \cdot \sigma_n^2 \cdot \sigma_n}}; \quad (3.35)$$

introduzindo o fator de segurança ao escoamento  $\phi_E = S_E/\sigma_n$  na Equação (3.35), obtemos para tensão plana:

$$\frac{b}{a} = \sqrt{\frac{2 \cdot S_E}{\phi_E^2 \cdot E}} \quad (3.36)$$

e para deformação plana:

$$\frac{b}{a} = \sqrt{\frac{2 \cdot S_E (1-\nu^2)}{\phi_E^2 \cdot E}}. \quad (3.37)$$

Calculando as constantes dadas pela Equação (2.11) e substituindo-as na Equação (2.10), obtemos as tensões de Inglis na placa infinita tracionada com uma trinca central com raio de ponta  $\rho = \frac{CTOD}{2}$ . Usando Mises em tensão plana temos:

$$\sigma_{Mises} = \sqrt{\sigma_\alpha^2 + \sigma_\beta^2 - \sigma_\alpha \sigma_\beta + 3\tau_{\alpha\beta}^2}, \quad (3.38)$$

Pode-se mapear a fronteira elastoplástica em torno da ponta da trinca com semi-eixos dados por (3.37) em tensão plana fazendo  $\sigma_{Mises} = S_E$  e resolvendo:

$$0 = \sqrt{\sigma_\alpha^2 + \sigma_\beta^2 - \sigma_\alpha \sigma_\beta + 3\tau_{\alpha\beta}^2} - S_E \quad (3.39)$$

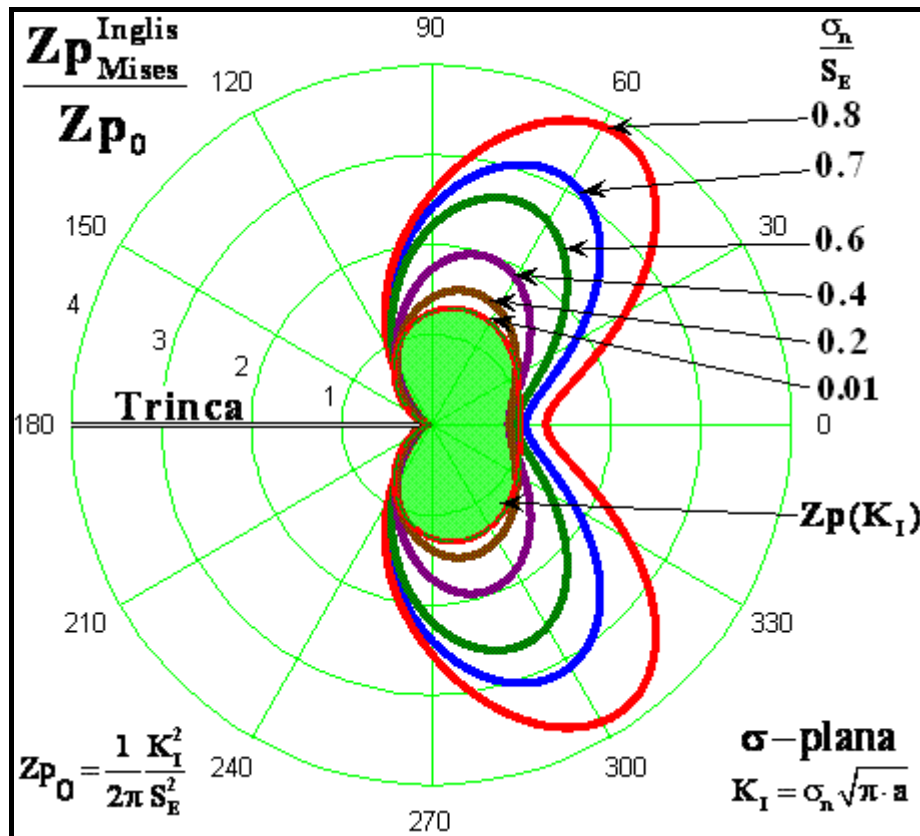


Figura 3.8 - Fronteira elastoplástica em torno de uma trinca modelada a partir da placa de Inglis com  $\rho = \frac{CTOD}{2}$ , em  $\sigma$ -plana.

Para deformação plana temos:

$$0 = \sqrt{0.5 \left[ (\sigma_\alpha - \sigma_\beta)^2 + (\sigma_\alpha - \sigma_z)^2 + (\sigma_z - \sigma_\beta)^2 \right]} + 3\tau_{\alpha\beta}^2 - S_E, \quad (3.40)$$

onde  $\sigma_z = \nu(\sigma_\alpha + \sigma_\beta)$ .

As Equações (3.39) e (3.40) podem ser solucionadas numericamente para  $\alpha$  e  $\beta$  fixando primeiro um das duas variáveis e achando o valor da outra que faz a equação igual à zero.

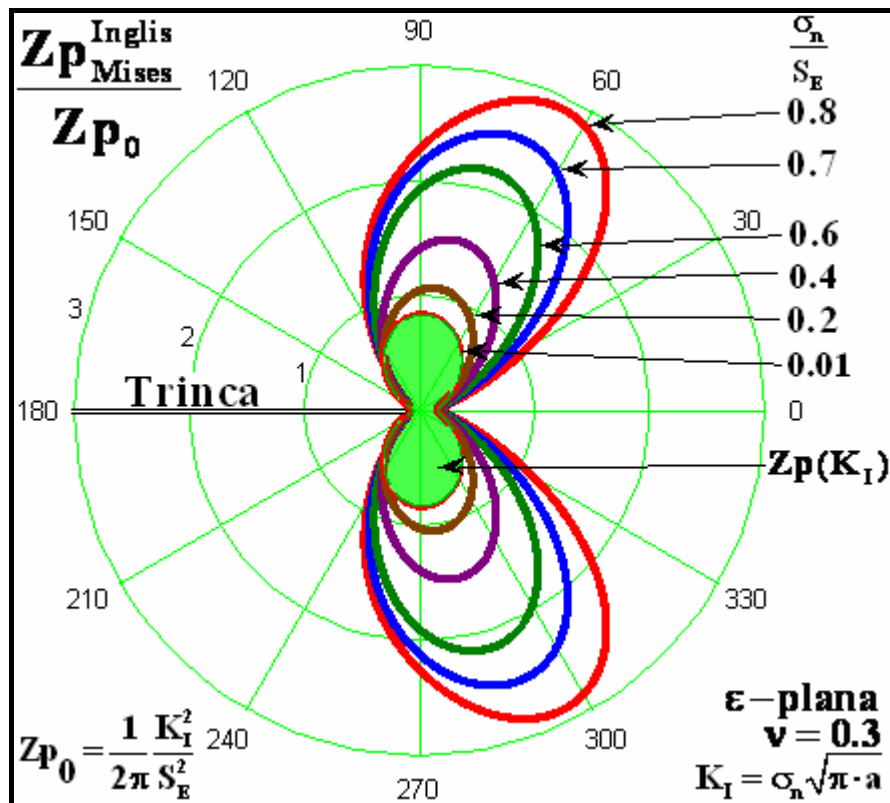


Figura 3.9 - Fronteira elastoplástica em torno de uma trinca modelada a partir da placa

de Inglis com  $\rho = \frac{CTOD}{2}$ , em  $\epsilon$ -plana.

### 3.4. Estimativa da zona plástica a partir da solução de Westergaard completa para o campo de tensões em uma placa infinita com uma trinca central

A solução de Westergaard para o campo de tensões LE de uma placa infinita com uma trinca central também pode ser usada para modelar a fronteira elastoplástica na ponta de uma trinca cumprindo com a condição de contorno  $\sigma_y(x \rightarrow \infty, y = 0) = \sigma_n$  e considerando o efeito da carga nominal na placa trincada.

Para isto tome-se a solução completa de Westergaard, já discutida na seção 2.2.6, sem usar a simplificação de Irwin que gera  $K_I = \sigma_n \cdot \sqrt{\pi \cdot a}$ . Sendo  $z = x + iy$ , da Equação (2.50) pode-se deduzir que  $Z'(z)$  é dado pela Equação (3.15).

Escrevendo as Equações (2.50) e (3.15) em coordenadas polares centradas na ponta da trinca obtém-se:

$$Z = \frac{[a + (r \cdot \cos \theta) + i(r \cdot \sin \theta)] \cdot \sigma_n}{\sqrt{[a + (r \cdot \cos \theta) + i(r \cdot \sin \theta)]^2 - a^2}} \quad (3.41)$$

e

$$Z' = \frac{-a^2 \cdot \sigma_n}{\left\{ [a + (r \cdot \cos \theta) + i(r \cdot \sin \theta)]^2 - a^2 \right\}^{\frac{3}{2}}}. \quad (3.42)$$

Podem-se obter as componentes  $\sigma_x$ ,  $\sigma_y$  e  $\tau_{xy}$ , que atuam na placa sob tração uniaxial, substituindo as Equações (3.41) e (3.42) na Equação (2.64):

$$\begin{aligned} \sigma_x &= \operatorname{Re} \left( \frac{[a + (r \cdot \cos \theta) + i(r \cdot \sin \theta)] \cdot \sigma_n}{\sqrt{[a + (r \cdot \cos \theta) + i(r \cdot \sin \theta)]^2 - a^2}} \right) - \operatorname{Im} \left( \frac{-a^2 \cdot \sigma_n}{\left\{ [a + (r \cdot \cos \theta) + i(r \cdot \sin \theta)]^2 - a^2 \right\}^{\frac{3}{2}}} \right) - \sigma_n \\ \sigma_y &= \operatorname{Re} \left( \frac{[a + (r \cdot \cos \theta) + i(r \cdot \sin \theta)] \cdot \sigma_n}{\sqrt{[a + (r \cdot \cos \theta) + i(r \cdot \sin \theta)]^2 - a^2}} \right) + \operatorname{Im} \left( \frac{-a^2 \cdot \sigma_n}{\left\{ [a + (r \cdot \cos \theta) + i(r \cdot \sin \theta)]^2 - a^2 \right\}^{\frac{3}{2}}} \right) \\ \tau_{xy} &= (r \cdot \operatorname{sen} \theta) \operatorname{Re} \left( \frac{-a^2 \cdot \sigma_n}{\left\{ [a + (r \cdot \cos \theta) + i(r \cdot \sin \theta)]^2 - a^2 \right\}^{\frac{3}{2}}} \right). \end{aligned} \quad (3.43)$$

Por último, substituindo a Equação (3.43) na Equação (3.20) (equação de Mises para tensão plana), fazendo a tensão de Mises igual à resistência ao escoamento ( $\sigma_{Mises} = S_E$ ), e igualando a equação resultante a zero, obtemos:

$$\begin{aligned} 0 &= \left\{ \left[ \operatorname{Re} \left( \frac{[a + (r \cdot \cos \theta) + i(r \cdot \sin \theta)] \cdot \sigma_n}{\sqrt{[a + (r \cdot \cos \theta) + i(r \cdot \sin \theta)]^2 - a^2}} \right) - \operatorname{Im} \left( \frac{-a^2 \cdot \sigma_n}{\left\{ [a + (r \cdot \cos \theta) + i(r \cdot \sin \theta)]^2 - a^2 \right\}^{\frac{3}{2}}} \right) - \sigma_n \right]^2 + \right. \\ &\quad \left[ \operatorname{Re} \left( \frac{[a + (r \cdot \cos \theta) + i(r \cdot \sin \theta)] \cdot \sigma_n}{\sqrt{[a + (r \cdot \cos \theta) + i(r \cdot \sin \theta)]^2 - a^2}} \right) + \operatorname{Im} \left( \frac{-a^2 \cdot \sigma_n}{\left\{ [a + (r \cdot \cos \theta) + i(r \cdot \sin \theta)]^2 - a^2 \right\}^{\frac{3}{2}}} \right) \right]^2 - \\ &\quad \left[ \operatorname{Re} \left( \frac{[a + (r \cdot \cos \theta) + i(r \cdot \sin \theta)] \cdot \sigma_n}{\sqrt{[a + (r \cdot \cos \theta) + i(r \cdot \sin \theta)]^2 - a^2}} \right) - \operatorname{Im} \left( \frac{-a^2 \cdot \sigma_n}{\left\{ [a + (r \cdot \cos \theta) + i(r \cdot \sin \theta)]^2 - a^2 \right\}^{\frac{3}{2}}} \right) - \sigma_n \right] \cdot \\ &\quad \left[ \operatorname{Re} \left( \frac{[a + (r \cdot \cos \theta) + i(r \cdot \sin \theta)] \cdot \sigma_n}{\sqrt{[a + (r \cdot \cos \theta) + i(r \cdot \sin \theta)]^2 - a^2}} \right) + \operatorname{Im} \left( \frac{-a^2 \cdot \sigma_n}{\left\{ [a + (r \cdot \cos \theta) + i(r \cdot \sin \theta)]^2 - a^2 \right\}^{\frac{3}{2}}} \right) \right]^2 + \\ &\quad \left. 3 \cdot \left[ (r \cdot \operatorname{sen} \theta) \operatorname{Re} \left( \frac{-a^2 \cdot \sigma_n}{\left\{ [a + (r \cdot \cos \theta) + i(r \cdot \sin \theta)]^2 - a^2 \right\}^{\frac{3}{2}}} \right) \right]^2 \right\}^{\frac{1}{2}} - S_E \end{aligned} \quad (3.44)$$

A solução da Equação (3.44) pode ser numericamente obtida para cada valor de  $\theta$  achando-se o valor aproximado de  $r$  que iguala a equação igual a zero, localizando assim a fronteira elastoplástica de Westergaard. No caso para deformação plana só se tem que substituir as componentes  $\sigma_x$ ,  $\sigma_y$ ,  $\sigma_z$  e  $\tau_{xy}$  achadas na Equação (3.43) na Equação (2.65) (equação de Mises para deformação plana), lembrando que a componente  $\sigma_z$  pode ser expressa em função das componentes  $\sigma_x$  e  $\sigma_y$  como  $\sigma_z = \nu(\sigma_x + \sigma_y)$ . Fazendo a tensão de Mises igual à resistência ao escoamento ( $\sigma_{Mises} = S_E$ ), passando todos os termos da equação para a direita, igualando à equação a zero como no caso de tensão plana, e aproximando numericamente a solução da equação fixando  $\theta$  e resolvendo para  $r$ , pode-se encontrar a fronteira elastoplástica de Westergaard para deformação plana.

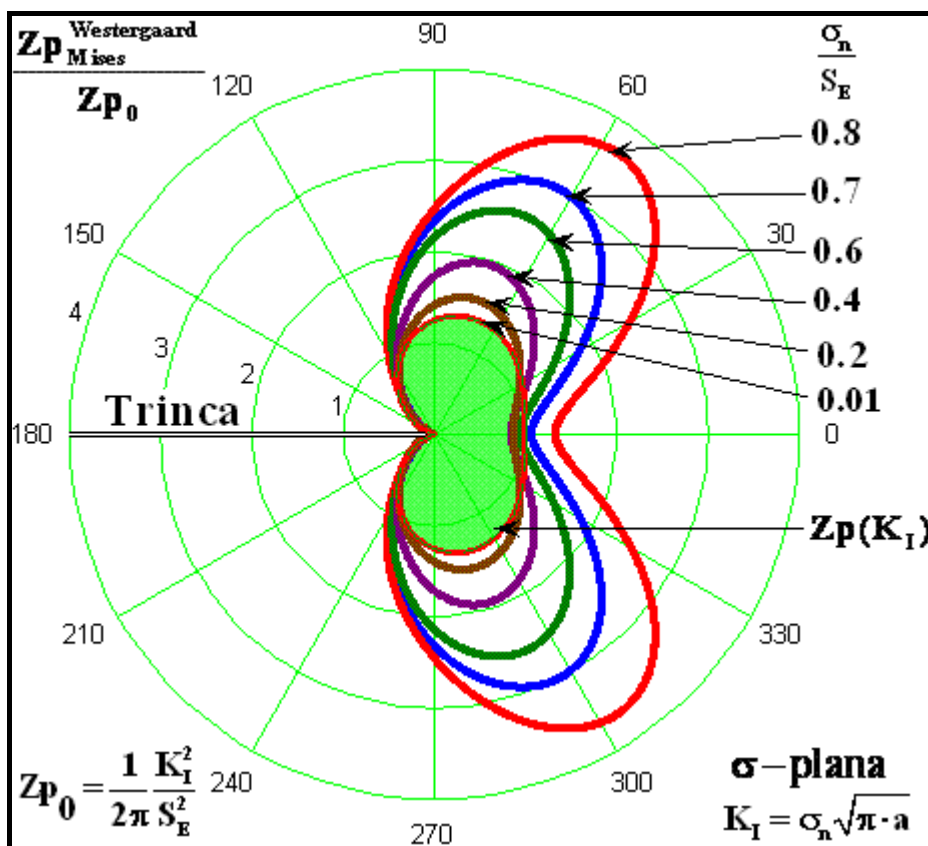


Figura 3.10 - Fronteira elastoplástica em torno da ponta de uma trinca modelada a partir da equação completa de Westergaard, em  $\sigma$ -plana.

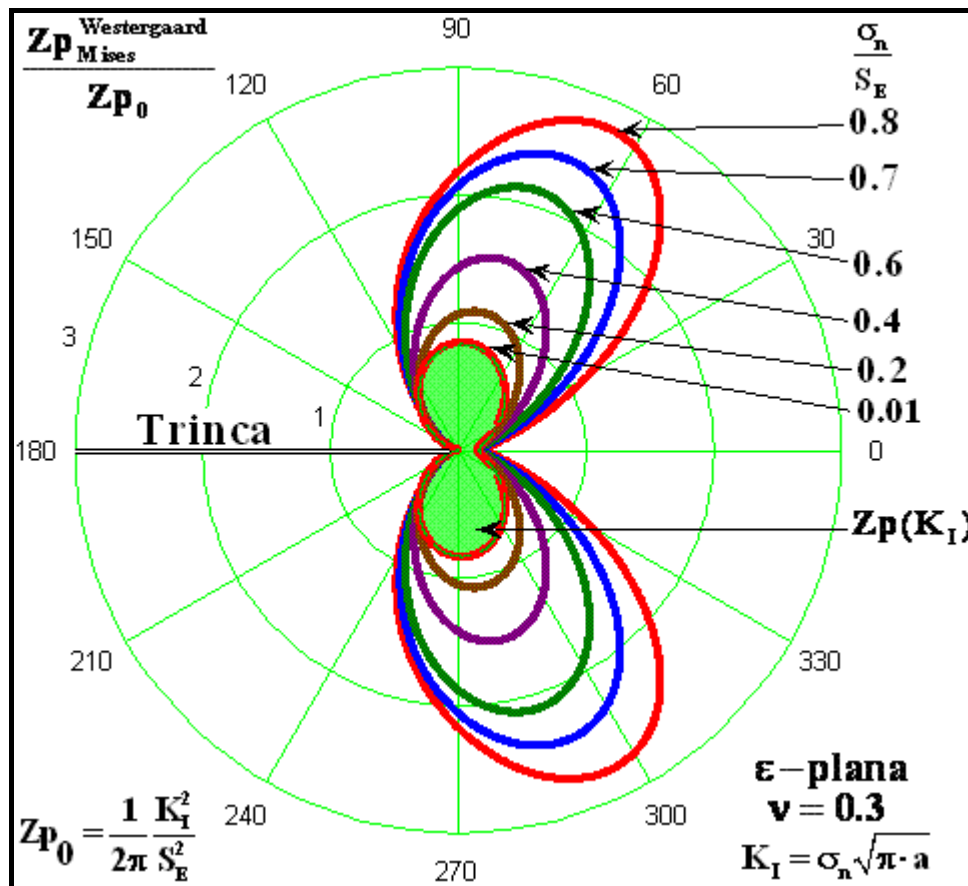


Figura 3.11 - Fronteira elastoplástica em torno da ponta de uma trinca modelada a partir da equação completa de Westergaard, em  $\epsilon$ -plana .

### 3.5. Comparação das soluções de Inglis e Westergaard

A seguir se apresenta a comparação da fronteira elastoplástica estimada por Inglis (para uma placa infinita contendo um furo elíptico solicitada por um carregamento perpendicular ao eixo maior da elipse, assumindo que a trinca tem raio de ponta igual à metade do CTOD associado com  $K_I$ ) com a solução completa de Westergaard (para uma placa infinita com uma trinca central com carga perpendicular à trinca, sem fazer a simplificação que Irwin usou para obter  $K_I$ ).

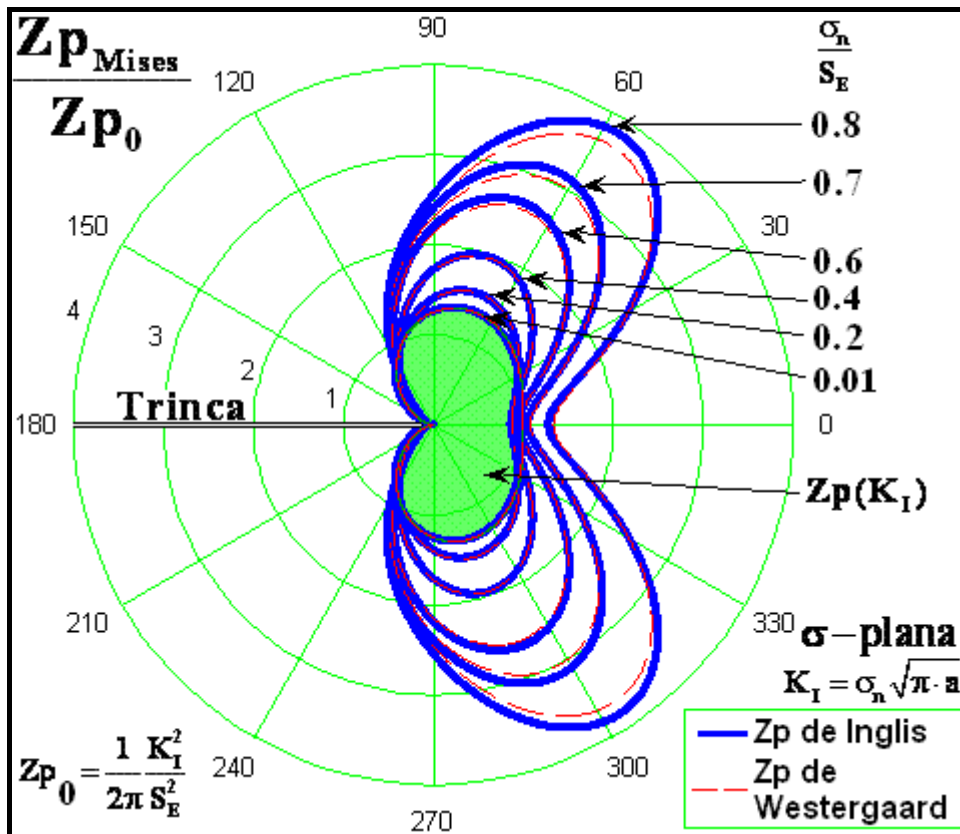


Figura 3.12 - Comparação da fronteira elastoplástica em torno da ponta de uma trinca modelada a partir da solução de Inglis e Westergaard completa, em  $\sigma$ -plana .

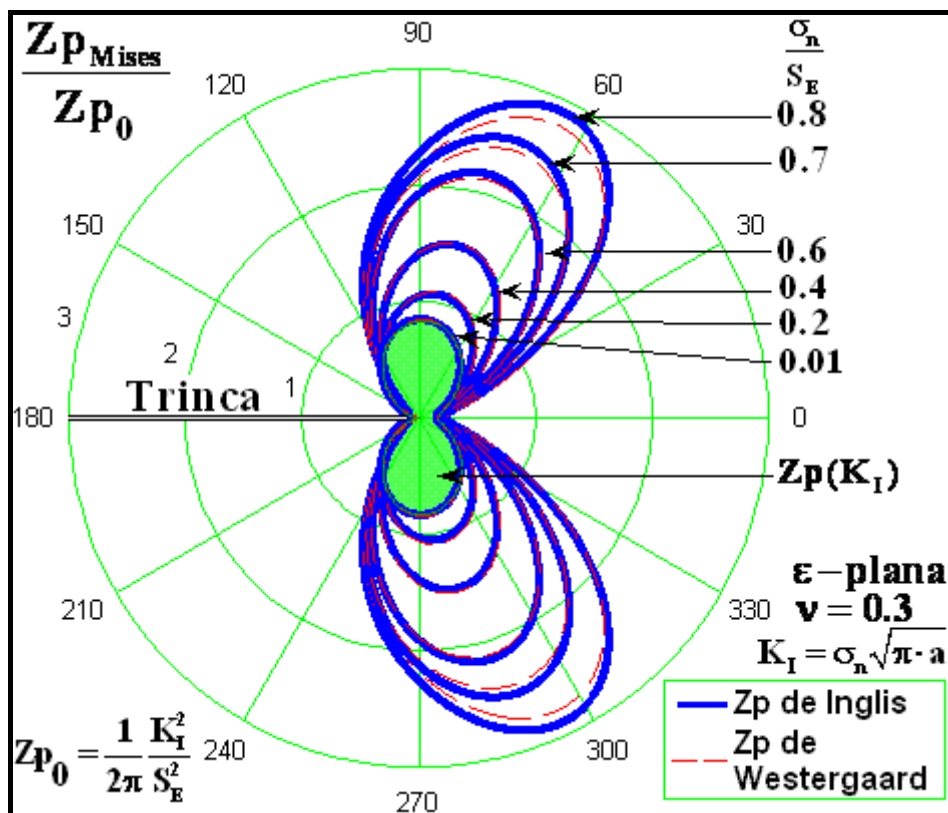


Figura 3.13 - Comparação da fronteira elastoplástica em torno da ponta de uma trinca modelada a partir da solução de Inglis e Westergaard completa, em  $\epsilon$ -plana .

Como se pode ver nas Figuras 3.12 e 3.13, as estimativas da zona plástica de Inglis e Westergaard divergem muito pouco uma da outra, e só nas tensões mais altas se pode ver claramente a pequena diferença entre elas. Mas se podem forçar as duas soluções a reduzir a diferença entre elas, para qualquer tensão fazendo o eixo menor da elipse na placa de Inglis igual à metade do **CTOD**, isto é:

$$b = \frac{CTOD}{2}.$$

(3.45)

Como estudado na seção 3.3, da Equação (2.85) e da Equação (2.86) obtemos os valores do *CTOD* para tensão e deformação plana. Substituindo (2.85), (2.86) e (3.7) em (3.45) obtemos:

$$b = \frac{2 \cdot \sigma_n^2 \cdot a}{E' \cdot S_E}, \quad (3.46)$$

então:

$$\frac{b}{a} = \frac{2 \cdot \sigma_n^2}{E' \cdot S_E}, \quad (3.47)$$

onde  $E' = E$  em tensão plana e  $E' = E/(1-\nu^2)$  em deformação plana. Introduzindo o fator de segurança ao escoamento  $\phi_E = S_E/\sigma_n$  na equação (3.47), obtemos para tensão plana:

$$\frac{b}{a} = \frac{2 \cdot \sigma_n}{E} \phi_E \quad (3.48)$$

e para deformação plana:

$$\frac{b}{a} = \frac{2 \cdot \sigma_n \cdot (1-\nu^2)}{E} \phi_E. \quad (3.49)$$

Trocando a Equação (3.48) pela (3.36) e a (3.49) pela (3.37) na solução de Inglis pode-se obter as Figuras 3.14 e 3.15.

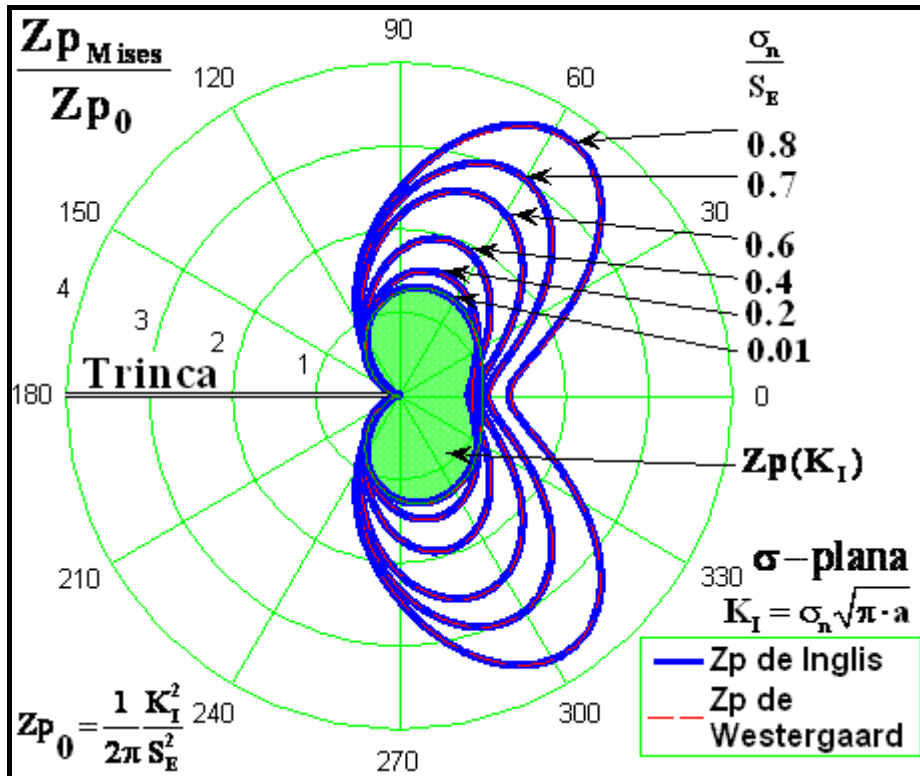


Figura 3.14 - Coincidência forçada da solução de Inglis e Westergaard completa fazendo

$b = CTOD/2$  na solução de Inglis, em  $\sigma$ -plana .

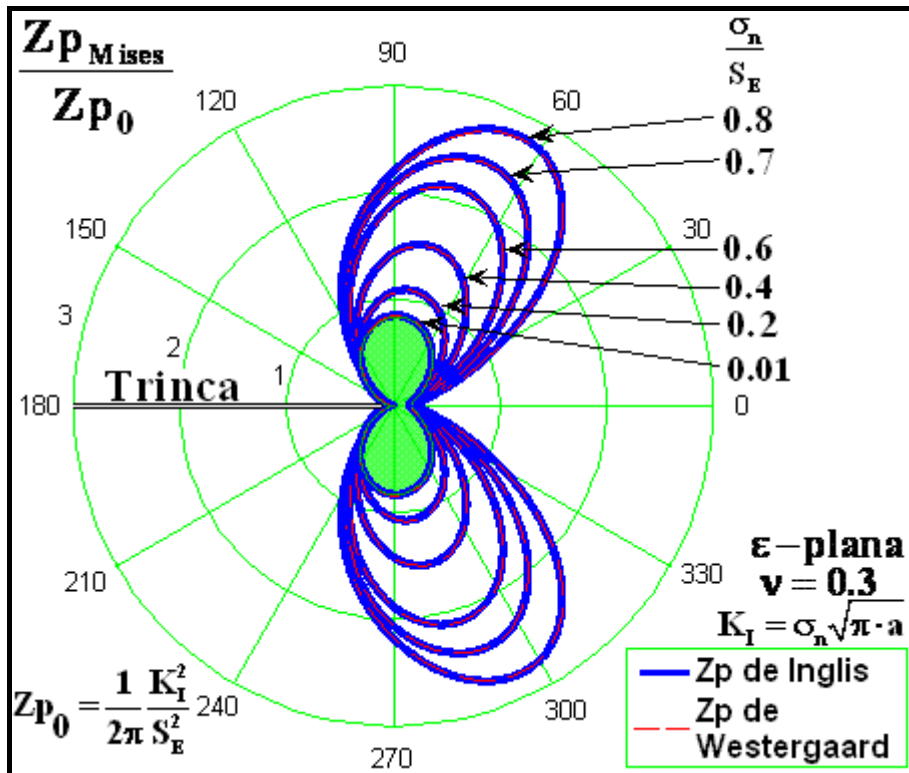


Figura 3.15 - Coincidência forçada da solução de Inglis e Westergaard completa fazendo

$b = CTOD/2$  na solução de Inglis, em  $\epsilon$ -plana .